

# 干扰整合素转接激酶表达对口腔鳞癌细胞迁移侵袭影响研究

宋玮华 刘月华 关超 李强

**摘要 目的** 研究干扰整合素转接激酶(ILK)表达对口腔鳞癌细胞迁移和侵袭能力的影响及机制。**方法** 以口腔鳞癌SCC-25细胞为研究对象,细胞转染小干扰RNA阴性对照(siRNA control)和ILK小干扰RNA(ILK siRNA)分别记为si-NC组和ILK siRNA组,同时以没有转染的SCC-25细胞作为对照组。RT-PCR和Western blot法检测转染效果;噻唑蓝(MTT)检测细胞增殖;细胞划痕实验检测细胞迁移;Transwell小室检测细胞侵袭;Western blot法检测基质金属蛋白酶-2(MMP-2)、基质金属蛋白酶-9(MMP-9)表达。**结果** si-NC组ILK mRNA水平和蛋白水平、细胞存活率、细胞迁移率、细胞侵袭数目以及细胞中的MMP-9、MMP-2蛋白表达与对照组比较差异无统计学意义( $P > 0.05$ )。ILK siRNA组ILK mRNA水平和蛋白水平、细胞存活率、细胞迁移率、细胞侵袭数目和细胞中MMP-2、MMP-9蛋白表达水平明显低于对照组和si-NC组( $P < 0.05$ )。**结论** 干扰ILK能够下调口腔鳞癌细胞增殖、迁移及侵袭能力。

**关键词** 整合素转接激酶 口腔鳞癌 迁移 侵袭

中图分类号 R739.8

文献标识码 A

DOI 10.11969/j.issn.1673-548X.2019.03.018

**Effects of Interference with Integrin-linked Kinase Expression on Migration and Invasion of Oral Squamous Cell Carcinoma.** Song

Weihua, Liu Yuehua, Guan Chao, et al. Department of Stomatology, Yueyang Hospital of Integrated Chinese and Western Medicine, Shanghai University of Traditional Chinese Medicine, Shanghai 200437, China

**Abstract Objective** To investigate the effect and its mechanism of integrin-linked kinase (ILK) on the migration and invasion of oral squamous cell carcinoma cells. **Methods** The oral squamous cell carcinoma SCC-25 cells were studied, the cells transfected with siRNA control and ILK siRNA were recorded as si-NC group and ILK siRNA group, the SCC-25 cells without transfection were used as controls. Transfection effects were detected by RT-PCR and Western blot. Cell proliferation was detected by MTT. Cell scratch test was used to detect cell migration. Cell invasion was detected by Transwell chamber. The expression of MMP-2 and MMP-9 was detected by Western blot. **Results** The levels of ILK mRNA and protein level, cell survival rate, cell migration rate, the number of cell invasion and the expression of MMP-2, MMP-9 in si-NC group were not significantly different from those in the control group ( $P > 0.05$ ). The levels of ILK mRNA and protein level, cell survival rate, cell migration rate, the number of cell invasion and the expression of MMP-2, MMP-9 in ILK siRNA group were decreased significantly from those in the control group and si-NC group ( $P < 0.05$ ). **Conclusion** Interference with ILK inhibits the proliferation, migration and invasion of oral squamous cell carcinoma cells, and its mechanism may be related to the inhibition of MMP-2 and MMP-9 expression.

**Key words** Integrin-linked kinase; Oral squamous cell carcinoma; Migration; Invasion

口腔鳞癌是一种发生于口腔的常见恶性肿瘤,据统计在所有的口腔癌患者中有80%为口腔鳞癌,其在世界范围内的发生率仍然呈现逐年上升的趋势。随着医学的不断发展,口腔鳞癌的治疗取得了一定的进步,但由于口腔鳞癌具有早期发病隐匿等特点,提

高口腔鳞癌患者的生存率仍然是目前研究的热点<sup>[1]</sup>。随着基因技术的不断发展,靶向基因治疗已经成为癌症治疗的主要研究方向。整合素转接激酶(integrin-linked kinase, ILK)属于丝氨酸/苏氨酸激酶,主要分布于细胞质中<sup>[2]</sup>。有研究表明,ILK在膀胱癌、舌鳞癌等多种癌症中高表达,具有促进癌细胞的增殖、影响癌细胞的转移的作用<sup>[3,4]</sup>。本研究通过下调口腔鳞癌细胞中ILK的转录和表达水平,用MTT法、Western blot法等多种实验方法研究沉默ILK对口腔鳞癌细胞转移潜能的影响,为靶向ILK治

基金项目:上海市科学技术委员会科研计划项目(16ZR1601021)

作者单位:200437 上海市中医药大学附属岳阳中西医结合医院口腔科(宋玮华、关超);200001 上海市口腔病防治院正畸科(刘月华、李强)

通讯作者:宋玮华,电子信箱:weihua8911@163.com

疗口腔鳞癌提供新的思路。

### 材料与方法

1. 实验材料: ILK 多克隆抗体购自于武汉艾美捷生物科技有限公司; 二喹啉甲酸 (bicinchoninic acid, BCA) 蛋白定量试剂盒购自于北京普利莱基因技术有限公司; 基质金属蛋白酶 - 9 (matrix metalloprotease 9, MMP - 9) 单克隆抗体购自于英国 Santa Cruz 公司; Lipofectamine 2000、Realtime PCR 试剂盒均购自于美国 Invitrogen 公司; ILK、GAPDH 引物均由上海生工生物公司合成; 基质金属蛋白酶 - 2 (matrix metalloprotease 2, MMP - 2) 单克隆抗体购自于英国 Abcam 公司; ILK 小干扰 RNA (ILK siRNA) 和小干扰 RNA 阴性对照 (siRNA control) 购自于上海吉玛生物制药有限公司; 胎牛血清、RPMI1640 培养基、胰蛋白酶均购自于美国 Gibco 公司; 口腔鳞癌细胞 SCC - 25 购自于中国科学院细胞库。

2. 细胞培养: 口腔鳞癌 SCC - 25 细胞培养条件为: 37℃, 5% CO<sub>2</sub> 培养箱, 饱和湿度。细胞培养液用含有 10% 胎牛血清的 RPMI1640。取出保存于液氮中的 SCC - 25 细胞, 在 37℃ 融化后, 接种到细胞瓶中, 观察细胞密度超过 90% 时, 用 0.25% 的胰蛋白酶消化传代培养。

3. 细胞转染及分组: 在转染前的 24h, 将对数生长期的 SCC - 25 细胞以每孔  $5 \times 10^4$  个细胞接种到 6 孔细胞培养板中。将 250 μl 的 Lipofectamine 2000 与 7.5 μl 的 siRNA control 和 ILK siRNA 分别混合后, 在室温条件下孵育 20min。加入到 6 孔细胞培养板中, 在 37℃, 5% CO<sub>2</sub> 培养箱中培养 48h。分别将转染 siRNA control 和 ILK siRNA 后的 SCC - 25 细胞记为 si - NC 组和 ILK siRNA 组, 同时以没有转染的 SCC - 25 细胞作为对照组。

4. RT - PCR 检测转染后细胞中 ILK mRNA 表达: 取对照组、si - NC 组和 ILK siRNA 组细胞, 培养 48h 后, 按照每两个 6 孔细胞培养板中的细胞加入 1mL Trizol 进行裂解。充分裂解后, 加入 1/5 裂解液体积的氯仿溶液, 混合后, 12000r/min, 4℃ 离心 10min。吸取上层水相溶液, 加入 1/2 体积的异丙醇, 在室温条件下静置 15min, 4℃ 离心 10min, 12000r/min, 将上清液吸除后, 加入 1ml 的 75% 的乙醇洗涤 RNA 两次后, 放在室温环境下干燥, 用无 RNase 的水溶解 RNA, 紫外分光光度计检测 RNA 浓度。反转录合成 cDNA, 按 RT - PCR 试剂盒说明书检测 ILK 水平, 每组设置 5 个复孔, 实验重复 3 次。反应程序为:

95℃, 5min; 95℃, 15s; 65℃, 35s, 40 个循环周期。ILK 上游引物: 5' - GACGACATTTCACTCACTGCC - 3'; 下游引物: 5' - ACGGTTCATTACATTGATCCGTG - 3'。GAPDH 上游引物: 5' - CGGAGTCAACGGATTTG-GTCGTAT - 3', 下游引物: 5' - AGCCTTCTCCATGGT-GGTGAAGAC - 3'。

5. Western blot 法检测转染后细胞中 ILK 蛋白表达: 取对照组、si - NC 组和 ILK siRNA 组细胞, 加入 1ml 的裂解液, 在冰上裂解 20min 后, 吸取匀浆液到离心管中, 超声后, 9000r/min, 离心 10min, 吸取上清液, 用 BCA 法对蛋白样品进行定量检测。按照蛋白样品: 5 × Loading Buffer = 5:1 的体积比例混合后, 煮沸 3min。按照每孔加入 50 μl 的样品进行蛋白电泳, 电泳电压为 120V 恒压。转膜: 300mA, 转膜 70min。在 5% 脱脂奶粉中封闭 60min, 与 1: 1000 倍稀释的一抗在 4℃ 过夜反应后, 1: 2000 倍稀释的二抗在室温反应 60min。显色后, 以目的蛋白灰度值 ÷ GAPDH 灰度值表示蛋白水平, 实验重复 3 次, 取均值。

6. MTT 检测细胞增殖: 取对照组、si - NC 组和 ILK siRNA 组细胞, 接种到 96 孔板中, 每孔加入 10<sup>3</sup> 个细胞, 培养 48h。在每孔中加入 MTT 溶液 20 μl (5mg/ml), 在 37℃ 孵育 4h 后, 弃去上清液, 加入 150 μl 的二甲基亚砜溶液, 摆床反应 10min。酶标仪分析 570nm 的吸光度值 (A 值)。每组设置 6 个复孔, 实验重复 3 次。分别按照下面的公式计算分析各组细胞的存活率。ILK siRNA 组或 si - NC 组存活率 (%) = (ILK siRNA 组或 si - NC 组 A 值 ÷ 对照组 A 值) × 100%。

7. Transwell 小室检测细胞侵袭: 在侵袭实验前在 6 孔 Transwell 小室中加入基质胶在 37℃ 孵育 30min。将对照组、si - NC 组和 ILK siRNA 组细胞用无血清的培养液配制成  $5 \times 10^4$  个/毫升的细胞悬浮液。取 1ml 的含血清细胞培养液加入到下室中, 同时在上室中添加 2ml 的上述细胞悬液。培养 48h 后, 用棉签把没有穿膜的细胞擦掉, 用乙醇固定 20min, 结晶紫染色后, 在显微镜下随机选取 5 个视野进行细胞计数, 实验重复 3 次, 取均值。

8. 细胞划痕实验检测细胞迁移: 取对照组、si - NC 组和 ILK siRNA 组细胞, 接种到 6 孔细胞培养板中, 每孔中加入  $2 \times 10^4$  个细胞。培养 24h 后, 取移液枪枪头, 在长满细胞的瓶壁上小心的划出一条细痕, 再加入磷酸盐缓冲液 (phosphate buffered saline, PBS) 将划下来的细胞洗掉后, 继续培养 48h。分别在 0h

和48h观察划痕宽度。每组设置3个复孔,实验重复3次,取均值。迁移率(%) = 100% × (0h宽度 - 48h宽度) ÷ 0h宽度。

9. Western blot法测定各组MMP-2、MMP-9蛋白水平:分别取上述的对照组、si-NC组及ILK siRNA组细胞,培养48h后,检测MMP-2和MMP-9蛋白水平。

10. 统计学方法:实验数据采用SPSS 22.0统计学软件对数据进行统计分析,数据用均数±标准差( $\bar{x} \pm s$ )表示,多组之间的比较采用单因素方差进行分析,两组数据之间的比较用LSD-t方法检验,以 $P < 0.05$ 为差异有统计学意义。

## 结 果

1. 转染后细胞中ILK表达检测结果:结果见表1、图1中所示,对照组、si-NC组、ILK siRNA组ILK mRNA水平依次为 $1.02 \pm 0.08$ 、 $0.99 \pm 0.11$ 、 $0.45 \pm 0.04$ ,蛋白水平依次为 $0.45 \pm 0.05$ 、 $0.46 \pm 0.07$ 、 $0.18 \pm 0.03$ 。si-NC组ILK mRNA水平及ILK蛋白水平同对照组比较,差异无统计学意义( $t_{mRNA} = 0.382$ ,  $P_{mRNA} = 0.722$ ,  $t_{蛋白} = 0.201$ ,  $P_{蛋白} = 0.850$ )。ILK siRNA组ILK mRNA水平及ILK蛋白水平较对照组和si-NC组明显下降( $t_{mRNA} = 11.038$ 、 $7.991$ ,  $P_{mRNA} = 0.000$ 、 $0.001$ ,  $t_{蛋白} = 8.020$ 、 $6.368$ ,  $P_{蛋白} = 0.001$ 、 $0.003$ )。

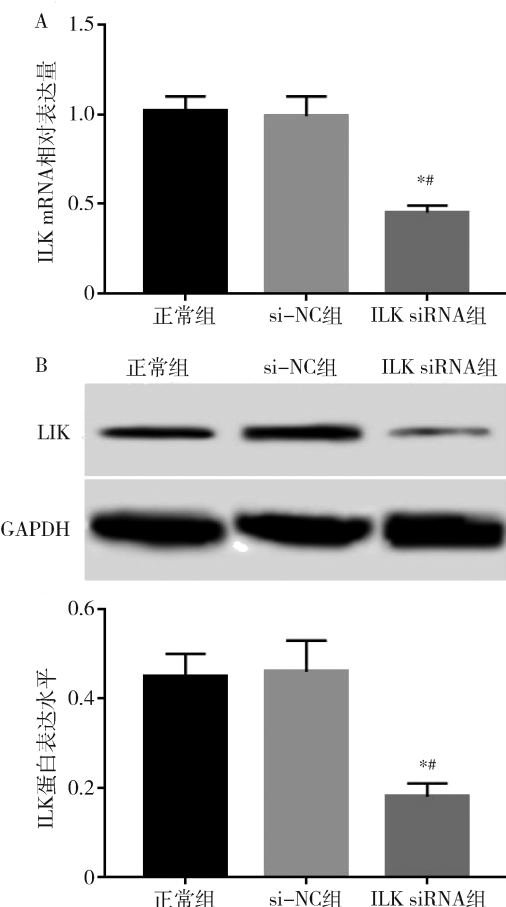
**表1 转染后的口腔鳞癌SCC-25细胞中ILK mRNA和蛋白水平( $\bar{x} \pm s$ )**

组别	ILK mRNA	ILK蛋白
对照组	$1.02 \pm 0.08$	$0.45 \pm 0.05$
si-NC组	$0.99 \pm 0.11$	$0.46 \pm 0.07$
ILK siRNA组	$0.45 \pm 0.04^{**}$	$0.18 \pm 0.03^{**}$
F	46.075	27.361
P	0.000	0.000

与对照组比较, $^*P < 0.05$ ;与si-NC组比较, $^{**}P < 0.05$

2. 细胞增殖检测结果:对照组、si-NC组、ILK siRNA组细胞存活率依次为: $99.94\% \pm 7.35\%$ 、 $100.01\% \pm 6.98\%$ 、 $52.64\% \pm 2.06\%$ ( $F = 62.829$ ,  $P = 0.000$ )。si-NC组细胞存活率与对照组比较,差异无统计学意义( $t_{存活率} = 0.012$ ,  $P_{存活率} = 0.991$ )。ILK siRNA组细胞存活率明显低于对照组和si-NC组,差异有统计学意义( $t_{存活率} = 10.733$ 、 $11.274$ ,  $P_{存活率} = 0.000$ 、 $0.000$ )。

3. 细胞侵袭迁移检测结果:结果见图2中所示,对照组、si-NC组、ILK siRNA组细胞迁移率依次为

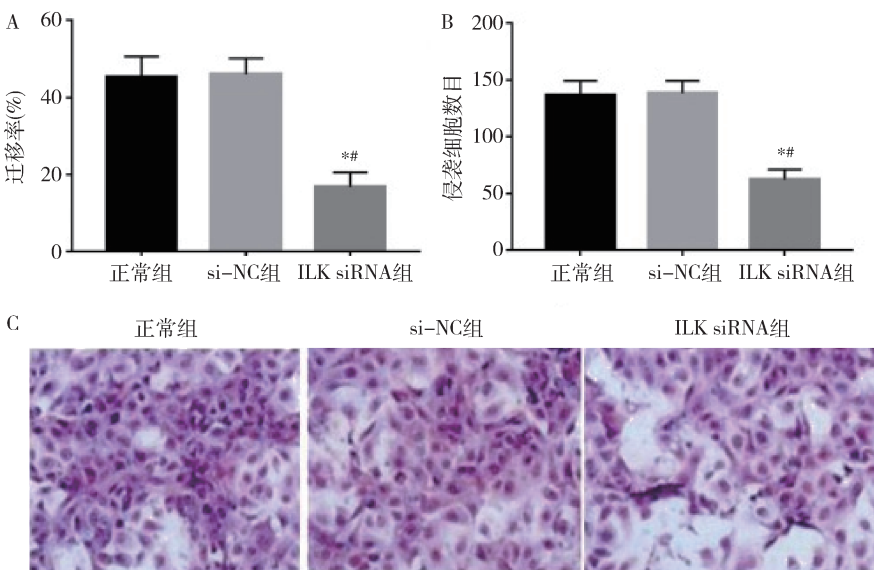


**图1 转染后细胞中ILK表达**

A. ILK mRNA水平;B. Western blot法检测ILK蛋白水平;  
与对照组比较, $^*P < 0.05$ ;与si-NC组比较, $^{**}P < 0.05$

$45.32\% \pm 5.25\%$ 、 $46.02\% \pm 4.10\%$ 、 $16.87\% \pm 3.72\%$ ,侵袭细胞数目依次为 $136.69 \pm 12.54$ 、 $138.25 \pm 11.05$ 、 $62.38 \pm 8.64$ 。si-NC组细胞迁移率、侵袭细胞数目与对照组比较差异无统计学意义( $t_{迁移率} = 0.182$ ,  $P_{迁移率} = 0.864$ ,  $t_{侵袭数目} = 0.162$ ,  $P_{侵袭数目} = 0.879$ )。ILK siRNA组口腔鳞癌细胞的迁移率和侵袭细胞的数目都低于对照组和si-NC组( $t_{迁移率} = 7.658$ 、 $9.120$ ,  $P_{迁移率} = 0.002$ 、 $0.001$ ,  $t_{侵袭数目} = 8.452$ 、 $9.369$ ,  $P_{侵袭数目} = 0.001$ 、 $0.001$ )。

4. 细胞中MMP-2、MMP-9表达检测结果:结果见图3中所示,对照组、si-NC组、ILK siRNA组MMP-2水平依次为 $0.25 \pm 0.05$ 、 $0.26 \pm 0.04$ 、 $0.08 \pm 0.01$ ,MMP-9水平依次为 $0.43 \pm 0.08$ 、 $0.42 \pm 0.09$ 、 $0.09 \pm 0.02$ 。si-NC组MMP-2、MMP-9与对照组比较差异无统计学意义( $t_{MMP-2} = 0.271$ ,  $P_{MMP-2} = 0.800$ ,  $t_{MMP-9} = 0.144$ ,  $P_{MMP-9} = 0.893$ )。ILK siRNA组MMP-2、MMP-9明显低于对照组和si-NC组,

图 2 细胞迁移和侵袭结果 ( $\times 40$ )

A. 细胞迁移率; B. 侵袭细胞数目; C. Transwell 结果图; 与对照组比较,  ${}^{\#}P < 0.05$ ; 与 si - NC 组比较,  ${}^{*}P < 0.05$

差异有统计学意义 ( $t_{MMP-2} = 5.775, 7.562, P_{MMP-2} = 0.005, 0.002, t_{MMP-9} = 7.141, 6.200, P_{MMP-9} = 0.002, 0.003$ )。ILK 表达下调能够抑制口腔鳞癌 SCC - 25 细胞中 MMP - 2、MMP - 9 的表达。

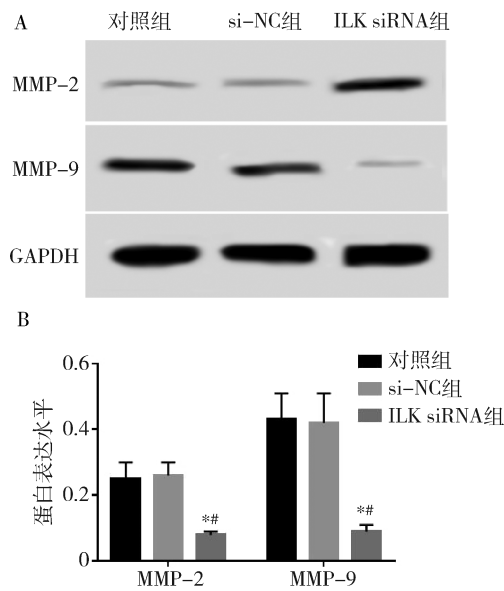


图 3 MMP - 2、MMP - 9 表达水平

A. Western blot 法检测下调 ILK 抑制细胞中 MMP - 2、MMP - 9 蛋白表达; B: MMP - 2、MMP - 9 蛋白定量统计结果; 与对照组比较,  ${}^{\#}P < 0.05$ ; 与 si - NC 组比较,  ${}^{*}P < 0.05$

程, 参与肿瘤的发生和发展<sup>[5,6]</sup>。安阳等<sup>[7]</sup>通过检测 89 例肝细胞肝癌患者癌组织及 65 例正常肝组织中 ILK 表达发现, ILK 在肝癌中的表达水平升高。朱向阳等<sup>[8]</sup>研究表明, 宫颈癌组织中 ILK 的阳性率高达 86%, 而正常的宫颈组织中 ILK 的阳性率仅有 23%。魏寅生<sup>[9]</sup>通过 RT - PCR 和 Western blot 法分别检测膀胱癌组织和癌旁组织中 ILK mRNA 和蛋白表达水平发现, ILK 在膀胱癌中表达上调, 而干扰 ILK 表达后, 膀胱癌细胞 T24 凋亡增多, 增殖、迁移、侵袭及黏附能力均下降。Que 等<sup>[10]</sup>研究表明, 下调 ILK 表达后, 舌鳞癌细胞凋亡增加, 同时细胞中上皮间质相关蛋白表达也发生改变, 以上的研究报道提示 ILK 在癌症组织中表达上调, 并且能够调控癌细胞的生长过程。本研究结果显示, 干扰 ILK 表达后的口腔鳞癌细胞增殖受到抑制, 侵袭能力下降, 迁移能力也明显下降, 这与之前的研究报道相符合, 说明在口腔鳞癌细胞中干扰 ILK 同样能够抑制肿瘤生长和转移, 对口腔鳞癌没有发现特异性。

相关调控机制研究表明, ILK 参与调控癌细胞生长、转移、侵袭等功能有多种途径, 如管永昱等研究表明, ILK 在口腔鳞状细胞癌中高表达, 可能通过促进肿瘤血管生成, 促进肿瘤细胞浸润和转移<sup>[11]</sup>。动物实验表明, 沉默 ILK 后能够有效抑制人舌鳞癌细胞在体内的转移和增殖能力, 其作用机制可能是通过抑制与 EMT 相关蛋白表达、调控 ILK/Akt/GSK3 $\beta$ /Snail 通路<sup>[12]</sup>。癌细胞的侵袭和迁移是癌症转移的基础,

## 讨 论

ILK 是一种较为保守的细胞内信号相关蛋白, 其主要通过调控丝氨酸/苏氨酸活性影响细胞的生长过

是一个极为复杂的过程,受到多种基因和蛋白的共同调控作用。癌细胞通过分泌降解外基质的蛋白酶,进入淋巴管和微血管循环,进而转移到正常的组织和器官中,引起癌症的转移<sup>[13~16]</sup>。赵明静等<sup>[17]</sup>研究证实,ILK过表达可通过调控NF-κB途径介导MMP-9表达上调,从而促进肺癌细胞侵袭和迁移。基质金属蛋白酶家族在细胞外基质降解过程中具有重要作用,其至少含有26个家族成员,其中MMP-2、MMP-9是降解IV型胶原酶的主要蛋白酶,而在细胞外基质中IV型胶原酶含量最多<sup>[18,19]</sup>。宋清源等<sup>[20]</sup>研究表明,沉默MMP-2后,卵巢癌细胞OVCAR-3的侵袭细胞数目从140减少至99,迁移距离从187μm减少至120μm。薄惠等<sup>[21]</sup>发现黄芩素处理后的口腔鳞状细胞癌细胞中MMP-2蛋白水平降低,细胞的转移能力也下降。本研究结果显示,干扰ILK表达下调口腔鳞癌细胞中MMP-2和MMP-9蛋白水平,证实下调ILK可以通过下调MMP-2和MMP-9发挥抗口腔鳞癌细胞迁移和侵袭的作用。

以上研究表明,沉默ILK可能通过下调细胞中MMP-2和MMP-9的表达,发挥抗口腔鳞癌细胞侵袭及迁移的作用,并且可以在体外降低口腔鳞癌细胞的增殖活性。这为靶向ILK治疗口腔鳞癌提供了理论基础。本研究只在体外进行了细胞实验,存在一定的局限性,后续会在体内进行更为深入的探讨。

#### 参考文献

- Wu Y, Zhang L, Zhang L, et al. Long non-coding RNA HOTAIR promotes tumor cell invasion and metastasis by recruiting EZH2 and repressing E-cadherin in oral squamous cell carcinoma [J]. Int J Oncol, 2015, 46(6): 2586-2594
- Qi F, Cai P, Liu X, et al. Adenovirus-mediated P311 inhibits TGF-β1-induced epithelial-mesenchymal transition in NRK-52E cells via TGF-β1-Smad-ILK pathway [J]. Biosci Trends, 2015, 9(5): 299-306
- Xiong D, Liou Y, Shu J, et al. Down-regulating ribonuclease inhibitor enhances metastasis of bladder cancer cells through regulating epithelial-mesenchymal transition and ILK signaling pathway [J]. Exp Mole Pathol, 2014, 96(3): 411-421
- Younes MN, Yigitbasi OG, Yazici YD, et al. Effects of the integrin-linked kinase inhibitor QLT0267 on squamous cell carcinoma of the head and neck [J]. Arch Otolaryngol Head Neck Surg, 2007, 133(1): 15-23
- Fukuda K, Bledzka K, Yang J, et al. Molecular basis of kindlin-2 binding to integrin-linked kinase pseudokinase for regulating cell adhesion [J]. J Biol Chem, 2014, 289(41): 28363-28375
- Han KS, Li N, Raven PA, et al. Targeting integrin-linked kinase suppresses invasion and metastasis through downregulation of epithelial-to-mesenchymal transition in renal cell carcinoma [J]. Mol Cancer Therapeut, 2015, 14(4): 1024-1034
- 安阳, 邱宝安, 赵文超. 肝细胞癌组织中ILK和MMP-10的表达及意义[J]. 临床军医杂志, 2013, 41(8): 794-796
- 朱向阳, 王香花. ILK在宫颈癌组织中的表达及宫颈癌细胞侵袭能力的影响[J]. 中国妇幼健康研究, 2016, 27(1): 87-89
- 魏寅生. 膀胱尿路上皮癌ILK基因表达及沉默ILK基因的相关研究[D]. 长沙: 中南大学, 2013
- Que L, Zhao D, Tang XF, et al. Effects of lentivirus-mediated shRNA targeting integrin-linked kinase on oral squamous cell carcinoma in vitro and in vivo [J]. Oncol Rep, 2016, 35(1): 89-98
- 管永昱. 整合素连接激酶和一氧化氮合酶在口腔鳞状细胞癌中的表达及意义[J]. 口腔医学研究, 2016, 32(5): 527-530
- 幸宇, 邓世雄, 齐进, 等. RNA干扰Tb人舌癌细胞整合素连接激酶基因表达可抑制移植瘤生长[J]. 基础医学与临床, 2015, 35(3): 289-294
- Paquette B, Therriault H, Wagner JR. Role of interleukin-1β in radiation-enhancement of MDA-MB-231 breast cancer cell invasion [J]. Radiat Res, 2013, 180(3): 292-298
- 孙静, 任丽莉, 张晓玉, 等. 支架蛋白RACK1小干扰RNA抑制卵巢癌细胞CAOV3的增殖、迁移和侵袭[J]. 中国老年学杂志, 2017, 37(2): 263-266
- Mikami S, Mizuno R, Kosaka T, et al. Expression of TNF-α and CD44 is implicated in poor prognosis, cancer cell invasion, metastasis and resistance to the sunitinib treatment in clear cell renal cell carcinomas [J]. Int J Cancer, 2015, 136(7): 1504-1514
- Paul NR, Allen JL, Chapman A, et al. α5β1 integrin recycling promotes Arp2/3-independent cancer cell invasion via the formin FHOD3 [J]. J Cell Biol, 2015, 210(6): 1013-1031
- 赵明静, 高英, 王玲玲, 等. 整合素连接激酶在肺癌细胞中过度表达并通过核因子-κB途径介导基质金属蛋白酶-9上调促进肺癌细胞迁移和侵袭[J]. 中华结核和呼吸杂志, 2014, 37(2): 98
- Chen JS, Huang X, Wang Q, et al. Sonic hedgehog signaling pathway induces cell migration and invasion through focal adhesion kinase/AKT signaling-mediated activation of matrix metalloproteinase (MMP)-2 and MMP-9 in liver cancer [J]. Carcinogenesis, 2013, 34(1): 10-19
- Dayer C, Stamenkovic I. Recruitment of matrix metalloproteinase-9 (MMP-9) to the fibroblast cell surface by lysyl hydroxylase 3 (LH3) triggers transforming growth factor-β (TGF-β) activation and fibroblast differentiation [J]. J Biol Chem, 2015, 290(22): 13763-13778
- 宋清源, 生秀杰, 周冬梅, 等. RNA干扰沉默基质金属蛋白酶2基因对卵巢癌OVCAR-3细胞诱导体外血管形成能力的影响[J]. 肿瘤研究与临床, 2013, 24(12): 793-796
- 薄惠, 张强, 黄琰. 竞争型MMP-2抑制剂黄芩素对口腔鳞状细胞生长和转移作用的影响[J]. 中药药理与临床, 2015, 31(5): 58-61

(收稿日期:2018-04-28)

(修回日期:2018-06-22)